

СЕПАРАБЕЛЬНОЕ ЯДРО ВЗАИМОДЕЙСТВИЯ ПЕРВОГО РАНГА ДЛЯ НУКЛОНов СО СКАЛЯРНЫМИ ПРОПАГАТОРАМИ

С. Г. Бондаренко¹, В. В. Буров, С. А. Юрьев

Объединенный институт ядерных исследований, Дубна

В статье анализируется ковариантное ядро нуклон-нуклонного взаимодействия частиц со скалярными пропагаторами. Уравнение Бете–Солпитера для T -матрицы рассматривается с потенциалом в сепарабельном виде первого ранга. Параметры ядра для конкретного парциального канала явно связываются с наблюдаемыми — низкоэнергетическими параметрами и фазами рассеяния, энергией связи дейтрона. Рассматриваются ковариантные сепарабельные ядра для парциальных волн с полным угловым моментом $J = 0$ (${}^1S_0, {}^3P_0$) и $J = 1$ (${}^3S_1 - {}^3D_1, {}^1P_1, {}^3P_1$).

The covariant kernel of the nucleon–nucleon interaction of particles with scalar propagators is analyzed. The Bethe–Salpeter equation for the T matrix is considered in the rank-one separable kernel. The parameters of the kernel for the specific partial-wave channels explicitly connect with the observables — low-energy scattering parameters and phase shifts, deuteron binding energy. Covariant separable kernels for the partial-wave channels with total angular momentum $J = 0$ (${}^1S_0, {}^3P_0$) and $J = 1$ (${}^3S_1 - {}^3D_1, {}^1P_1, {}^3P_1$) are considered.

PACS: 11.10.St; 13.75.Cs

ВВЕДЕНИЕ

Исследование малонуклонных систем важно для понимания сильных взаимодействий. Для согласованного ковариантного описания нуклон-нуклонного (NN) взаимодействия обычно используется релятивистское уравнение Бете–Солпитера (БС) [1]. Подход БС с сепарабельным ядром взаимодействия дает хорошее описание упругих и неупругих электромагнитных процессов с дейтроном [2]. Например, формализм БС облегчает анализ роли Р-волн (парциальных отрицательно-энергетических составляющих амплитуды БС) в электромагнитных свойствах дейтрона в сравнении с нерелятивистским описанием [3]. Кроме того, ковариантный подход БС дает возможность проанализировать внemассовые эффекты и вклады релятивистского двухчастичного тока [4].

Другой важной областью физики сильных взаимодействий является изучение трехнуклонных систем и адрон-дейтронных реакций. Релятивистские трехчастичные системы описываются уравнениями Фаддеева в подходе БС — так называемыми уравнениями

¹E-mail: bondarenko@jinr.ru

Бете–Солпитера–Фаддеева. Общее рассмотрение трехнуклонных систем представляет собой достаточно сложную задачу. Поэтому на первом этапе таких исследований делаются некоторые упрощения.

Во-первых, учитываются только парные взаимодействия, а трехчастичные силы не рассматриваются. Во-вторых, используется ковариантное сепарабельное ядро NN -взаимодействия. В этом случае система интегральных уравнений с 6-кратными интегралами переходит в систему интегральных уравнений с 2-кратными интегралами с обобщенными ядрами. И в-третьих, предполагается, что все нуклоны имеют равные массы и описываются скалярными пропагаторами вместо спинорных. Спин-изоспиновая структура нуклонов учитывается с использованием так называемой матрицы коэффициентов связывания.

В статье анализируется ковариантное ядро NN -взаимодействия частиц со скалярными пропагаторами для парциальных волн с полным моментом количества движения $J = 0, 1$. Полученные результаты будут использованы в расчетах трехнуклонных систем.

Работа организована следующим образом: в разд. 1 описан формализм, детали расчетов и результаты приведены в разд. 2, дано заключение.

1. ФОРМАЛИЗМ

Уравнение Бете–Солпитера для двухнуклонной T -матрицы записывается в следующем виде:

$$T(\hat{p}', \hat{p}; \hat{P}) = V(\hat{p}', \hat{p}; \hat{P}) + \frac{i}{4\pi^3} \int d^4 \hat{k} V(\hat{p}', \hat{p}; P) S(\hat{k}; \hat{P}) T(\hat{k}, \hat{p}; \hat{P}). \quad (1)$$

Здесь $\hat{P} = (\hat{p}_1 + \hat{p}_2)$, $\hat{p} = (\hat{p}_1 - \hat{p}_2)/2$ [$\hat{p}' = (\hat{p}'_1 - \hat{p}'_2)/2$] — полный и относительный четырехмерный импульс; V — ядро NN -взаимодействия (детали можно найти с работы [2]).

Нуклоны в уравнении имеют спин $1/2$, но описываются скалярными пропагаторами:

$$S(\hat{k}; \hat{P}) = [(\hat{P}/2 + \hat{k}) - m_N^2 + i0]^{-1} [(\hat{P}/2 - \hat{k}) - m_N^2 + i0]^{-1}. \quad (2)$$

Парциальное разложение уравнения (в системе покоя двухчастичной системы) приводит его к следующей форме:

$$\begin{aligned} t_{L'L}(p'_0, p', p_0, p; s) &= v_{L'L}(p'_0, p', p_0, p; s) + \\ &+ \frac{i}{4\pi^3} \sum_{L''} \int dk_0 \int k^2 dk v_{L'L''}(p'_0, p', k_0, k; s) S(k_0, k; s) t_{L''L}(k_0, k, p_0, p; s). \end{aligned} \quad (3)$$

Здесь $s = P^2$, t и v — парциальные разложения для T -матрицы и ядра V , $e_k = \sqrt{k^2 + m^2}$. Для синглетного (несвязанного триплетного) канала ($L = J$) в сумме имеется только один член, а для связанного триплетного — два.

Для решения уравнения (3) используется сепарабельная форма ядра взаимодействия (первого ранга)

$$v_{L'L}(p'_0, p', p_0, p; s) = \lambda g^{[L']}(p'_0, p') g^{[L]}(p_0, p), \quad (4)$$

где λ и g — параметр и формфактор модели. Тогда t -матрица может быть записана как

$$t_{L'L}(p'_0, p', p_0, p; s) = \tau(s) g^{[L']}(p'_0, p') g^{[L]}(p_0, p), \quad (5)$$

с функцией $\tau(s)$, имеющей

$$\tau(s) = \frac{1}{\lambda^{-1} + h(s)}, \quad (6)$$

и с функцией $h(s)$ в форме

$$h(s) = \sum_L h_L(s) = -\frac{i}{4\pi^3} \int dk_0 \int k^2 dk \sum_L [g^{[L]}(k_0, k)]^2 S(k_0, k; s). \quad (7)$$

Для построения ядра NN -взаимодействия первого ранга используется ковариантное обобщение ямагучи-функций [5] для $g^{[L]}(k_0, k)$ в следующей форме:

$$g^{[S]}(k_0, k) = \frac{1}{k_0^2 - k^2 - \beta_0^2 + i0}, \quad (8)$$

$$g^{[P]}(k_0, k) = \frac{\sqrt{| -k_0^2 + k^2 |}}{(k_0^2 - k^2 - \beta_1^2 + i0)^2}, \quad (9)$$

$$g^{[D]}(k_0, k) = \frac{C_2(k_0^2 - k^2)}{(k_0^2 - k^2 - \beta_2^2 + i0)^2}, \quad (10)$$

где β_L и C_L — параметры модели.

Дейtron и наблюдаемые NN -рассеяния. На массовой поверхности $t(s)$ -матрица может быть выражена через наблюдаемые:

1) в синглетном (несвязанном триплетном) канале

$$t(s) \equiv t(0, \bar{p}, 0, \bar{p}, s) = -\frac{8\pi\sqrt{s}}{\bar{p}} e^{i\delta} \sin \delta; \quad (11)$$

2) в связанном триплетном канале

$$t(s) = \frac{4\pi i\sqrt{s}}{\bar{p}} \begin{pmatrix} \cos 2\epsilon e^{2i\delta_{<}} - 1 & i \sin 2\epsilon e^{i(\delta_{<} + \delta_{>})} \\ i \sin 2\epsilon e^{i(\delta_{<} + \delta_{>})} & \cos 2\epsilon e^{2i\delta_{>}} - 1 \end{pmatrix} \quad (12)$$

с $\bar{p} = \sqrt{s/4 - m^2} = \sqrt{m T_{\text{lab}}/2}$. Выше введены также фазы рассеяния $\delta \equiv \delta_{L=J}$, $\delta_{<} \equiv \delta_{L=J-1}$, $\delta_{>} \equiv \delta_{L=J+1}$ и параметр смешивания ϵ .

Связанное состояние в парциальном канале проявляется в виде простого полюса в t -матрице по квадрату полного импульса. Используя уравнение (6), можно получить следующее условие ($M_b = 2m_N - E_b$, где E_b — энергия связанного состояния):

$$\lambda^{-1} = -h(s = M_b^2). \quad (13)$$

Условие нормировки для вершинной функции дейтрана может быть записано в виде

$$\frac{d}{dP_\mu} (h_S(s) + h_D(s)) = 2P_\mu(p_S + p_D), \quad (14)$$

где $s = P^2 = M_d^2$, p_S и p_L — псевдовероятности парциальных состояний.

Низкоэнергетические параметры — длина рассеяния a_L и эффективный радиус r_L — определяются следующим уравнением:

$$\bar{p}^{2L+1} \cot \delta_L(s) = -\frac{1}{a_L} + \frac{r_L}{2} \bar{p}^2 + \mathcal{O}(\bar{p}^3). \quad (15)$$

Таким образом, уравнение (5) определяет t -матрицу на массовой поверхности ($p_0 = p'_0 = 0, p = p' = \bar{p}$), которая может быть связана с наблюдаемыми NN -рассеяния и дейtronом — фазами рассеяния, низкоэнергетическими параметрами и энергией связи дейтрана.

2. РАСЧЕТЫ И РЕЗУЛЬТАТЫ

Параметры модели для определенного парциального канала — $\lambda_L, \beta_L(C_L)$ — можно получить из анализа наблюдаемых NN -рассеяния и дейтрана. Эти значения рассчитаны из t -матрицы на массовой поверхности (5). Двукратное интегрирование в уравнении (7) может быть выполнено несколькими способами. В данной работе интегрирование по переменной k_0 выполняется с использованием теоремы Коши, а оставшийся однократный интеграл по переменной k (или по e_k) выполняется численно. Как показано в работе [6], интегрирование по k возможно только для связанного состояния $\sqrt{s} < 2m_N$ и для упругого NN -рассеяния в области $2m_N < \sqrt{s} < 2(m_N + \beta)$. Таким образом, рассматриваемая кинетическая энергия ограничена $T_{\text{lab}} < 4\beta$.

Рассматривая интегрирование по e_k , можно найти полюс в точке $\bar{e}_k = \sqrt{s}/2$ в функции $1/(\sqrt{s}/2 - e_k + i0)$. Это интегрирование может быть выполнено с использованием следующего формального соотношения:

$$\frac{1}{\sqrt{s}/2 - e_k + i0} = \frac{P}{\sqrt{s}/2 - e_k} - i\pi\delta(\sqrt{s}/2 - e_k), \quad (16)$$

где первый член в правой части выражения отвечает главному значению интеграла, которое дает действительную часть функции $h(s)$. Второй член в правой части дает мнимую часть функции $h(s)$ в виде

$$\text{Im } h(s) = \frac{\bar{k}}{16\bar{e}_k\pi} \sum_L g_L(0, \bar{k})^2 \quad (17)$$

с $\bar{k} = \sqrt{s/4 - m_n^2}$.

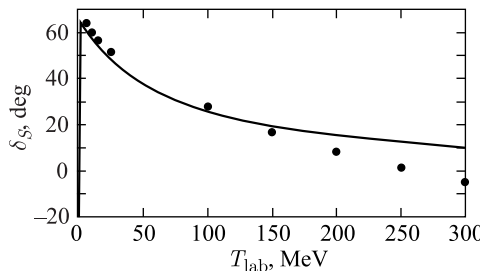
Начальные значения параметров для трех несвязанных P -состояний (${}^3P_0, {}^1P_1, {}^3P_1$) и связанных состояний ${}^3S_1 - {}^3D_1$ взяты из нашей предыдущей статьи для сепарабельного NN -ядра взаимодействия первого ранга для нуклонов со спинорными пропагаторами [8] и перестраиваются с учетом скалярных пропагаторов нуклонов.

Экспериментальные данные для фаз рассеяния взяты из программы SAID (<http://gwdac.phys.gwu.edu/>), а значения энергии связи дейтрана и низкоэнергетических параметров приведены в [7].

2.1. 1S_0 -состояние. Параметры парциальной волны 1S_0 взяты из статьи [9] и даны в табл. 1 без каких-либо изменений. Вычисленные низкоэнергетические параметры (a_S и r_S) приведены в табл. 1, а фазы рассеяния показаны на рис. 1.

Таблица 1. Параметры парциального канала 1S_0

Параметр	Экспериментальные данные из [7]	1S_0
λ , ГэВ ⁴		-1,12087
β_0 , ГэВ		0,228302
a_L , Фм	-23,748	-23,753
r_L , Фм	2,75	2,75

Рис. 1. Фазы рассеяния в парциальном канале 1S_0

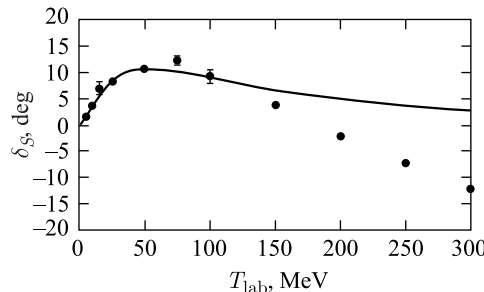
2.2. Состояния 3P_0 , 1P_1 , 3P_1 . Фазы для несвязанных парциальных состояний могут быть получены с использованием уравнения (5) и (7), а именно

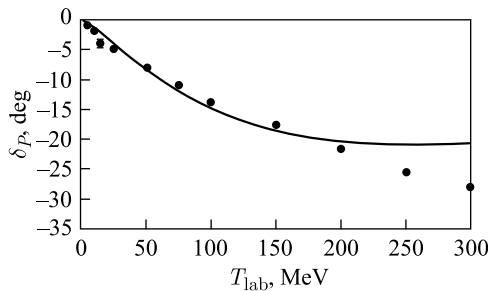
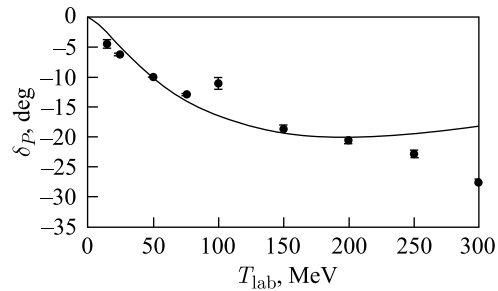
$$\tan \delta_L(s) = \frac{\text{Im } t(s)}{\text{Re } t(s)} = \frac{\text{Im } h(s)}{\lambda_L^{-1} + \text{Re } h(s)}. \quad (18)$$

Чтобы найти параметры λ_L и β_L , применяется процедура минимизации функции χ^2 , где n — количество учитываемых экспериментальных точек. Начальные значения параметров взяты из статьи [8]. При вычислении минимума функции χ^2 учитывался максимум кинетической энергии $T_{\text{lab}}^{\max} = 100$ МэВ для 3P_0 -состояния и $T_{\text{lab}}^{\max} = 200$ МэВ для

Таблица 2. Параметры парциальных каналов 3P_0 , 1P_1 и 3P_1

Параметр	3P_0	3P_1	1P_1
λ , ГэВ ⁶	0,0428572	-5,83051	-3,68029
β_1 , ГэВ	0,19904	0,48273	0,44127

Рис. 2. Фазы рассеяния в парциальном канале 3P_0

Рис. 3. Фазы рассеяния в парциальном канале 3P_1 Рис. 4. Фазы рассеяния в парциальном канале 1P_1

1P_1 - $, ^3P_1$ -состояний. Рассчитанные параметры приведены в табл. 2, а фазы рассеяния — на рис. 2–4.

2.3. Связанные состояния 3S_1 – 3D_1 . Параметры связанных парциальных состояний 3S_1 – 3D_1 получены из параметров, приведенных в статье [8], с использованием следующей процедуры:

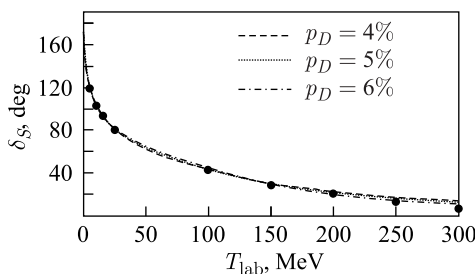
- параметр C_2 пересчитан с использованием условия нормировки (14) так, чтобы псевдовероятность парциальной 3D_1 -волны имела значения $p_D = 4, 5, 6\%$, тогда как параметры β_0 и β_2 зафиксированы;

- параметр λ пересчитан с помощью выражения (13) таким образом, чтобы энергия связи дейтрона была $E_d = 2,2246$ МэВ при фиксированных остальных параметрах.

Рассчитанные параметры ядра, а также характеристики низкоэнергетического рассеяния (a_L и r_L) приведены в табл. 3, а фазы — на рис. 5.

Таблица 3. Параметры связанных парциальных каналов 3S_1 – 3D_1

Параметр	Экспериментальные данные из [7]	3S_1 – 3D_1 ($p_D = 4\%$)	3S_1 – 3D_1 ($p_D = 5\%$)	3S_1 – 3D_1 ($p_D = 6\%$)
λ , ГэВ ⁴		-1,83756	-1,57495	-1,34207
β_0 , ГэВ		0,251248	0,246713	0,242291
C_2		1,71475	2,52745	3,46353
β_2 , ГэВ		0,294096	0,324494	0,350217
a_L , Фм	5,424	5,454	5,454	5,453
r_L , Фм	1,756	1,81	1,81	1,80

Рис. 5. Фазы рассеяния в парциальном канале 3S_1

ЗАКЛЮЧЕНИЕ

Были рассмотрены ковариантные сепарабельные ядра первого ранга NN -взаимодействия с нуклонами со спином $1/2$ и со скалярными пропагаторами. Параметры парциальных состояний с полным угловым моментом $J = 0, 1$ получены из анализа наблюдаемых NN -системы — статических свойств дейтрона и параметров NN -рассеяния. Предлагаемые модели ядер будут использованы для исследования трехнуклонных связанных состояний и их динамических электромагнитных свойств (формфакторов).

Работа частично поддержана грантами Российского фонда фундаментальных исследований № 16-02-00898 и № 18-32-00278.

СПИСОК ЛИТЕРАТУРЫ

1. Salpeter E. E., Bethe H. A. // Phys. Rev. 1951. V. 84. P. 1232.
2. Bondarenko S. G., Burov V. V., Molochkov A. V., Smirnov G. I., Toki H. // Prog. Part. Nucl. Phys. 2002. V. 48. P. 449; nucl-th/0203069.
3. Bondarenko S. G., Burov V. V., Beyer M., Dorkin S. M. // Part. Phys. At. Nucl. 1999. V. 62. P. 917–925.
4. Bekzhanov A. V., Bondarenko S. G., Burov V. V. // Phys. Part. Nucl. Lett. 2018. V. 15, No. 1.
5. Yamaguchi Y. // Phys. Rev. 1954. V. 95. P. 1628;
Yamaguchi Y., Yamaguchi Y. // Ibid. P. 1635.
6. Bondarenko S., Burov V., Rogochaya E. // EPJ. Web of Conf. 2018 (submitted).
7. Dumbrajs O., Koch R., Pilkuhn H., Oades G. C., Behrens H., De Swart J. J., Kroll P. // Nucl. Phys. B. 1983. V. 216. P. 277.
8. Bondarenko S. G., Burov V. V., Hamamoto N., Hosaka A., Manabe Y., Toki H. // Nucl. Phys. A. 2003. V. 721. P. C413–C416.
9. Rupp G., Tjon J. A. // Phys. Rev. C. 1988. V. 37. P. 1729.